

سینتیک واکنش SO_2 با CaO در 1123°K

سید خطیب الاسلام صدر نژاد

استاد دانشکده مهندسی و علم مواد - دانشگاه صنعتی شریف

محمود فراز پی

کارشناس ارشد دانشکده مهندسی و علم مواد - دانشگاه صنعتی شریف

(تاریخ دریافت ۷۷/۱۲/۳، تاریخ تصویب ۱۰/۵/۷۷)

چکیده

برای زدودن SO_2 از گازهای خورنده در دماهای بالا، می‌توان از CaO استفاده کرد. بازدهی فرایند، بستگی به سینتیک واکنش دارد. برای تعیین سینتیک، قطعات آهک جامد درون محفظه‌ای تحت جریان گاز حاوی SO_2 قرار داده شده و نوع و میزان پیشرفت واکنش از طریق تجزیه شیمیایی محصولات واکنش توسط اشعه ایکس، میکروسکوپ نوری و میکروسکوپ الکترونی تعیین شد. با اعمال نتایج بدست آمده در الگوهای شناخته شده گاز-جامد، مکانیزم کنترل کننده فرایند، از نوع مختلط و مشتمل بر مراحل نفوذ داخلی، نفوذ در حفره‌های تخلخل و واکنش شیمیایی بدست آمد.

کلید واژه‌ها: سینتیک، آهک، دی‌اکسید گوگرد، آلودگی محیط زیست، خوردگی، مکانیزم واکنش

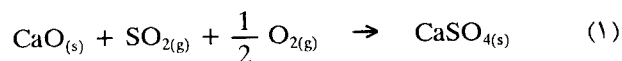
مقدمه

گسترده تری در این خصوص انجام شود. بویژه که توصیف سینتیکی واکنش ۱، به سبب تفاوت حجم فازهای CaO و CaSO_4 ، از پیچیدگی فراوانی برخوردار بوده و با الگوهای موجود، براحتی قابل تطبیق نیست [۲].

استفاده از الگوهای سینتیکی برای محاسبه سرعت واکنشهای پردا، هنوز در دوران طفولیت خود بسر می‌برد؛ از این رو الگوهای قابل استناد و کاملی درباره واکنش ۱ تاکنون ارائه نشده است. لذا لازم است در این زمینه تحقیقات مفصل تری صورت پذیرد؛ بطوریکه الگوی قابل انطباق بر واکنش ۱، با استفاده از نتایج آزمایشی کافی مشخص و ارائه شود.

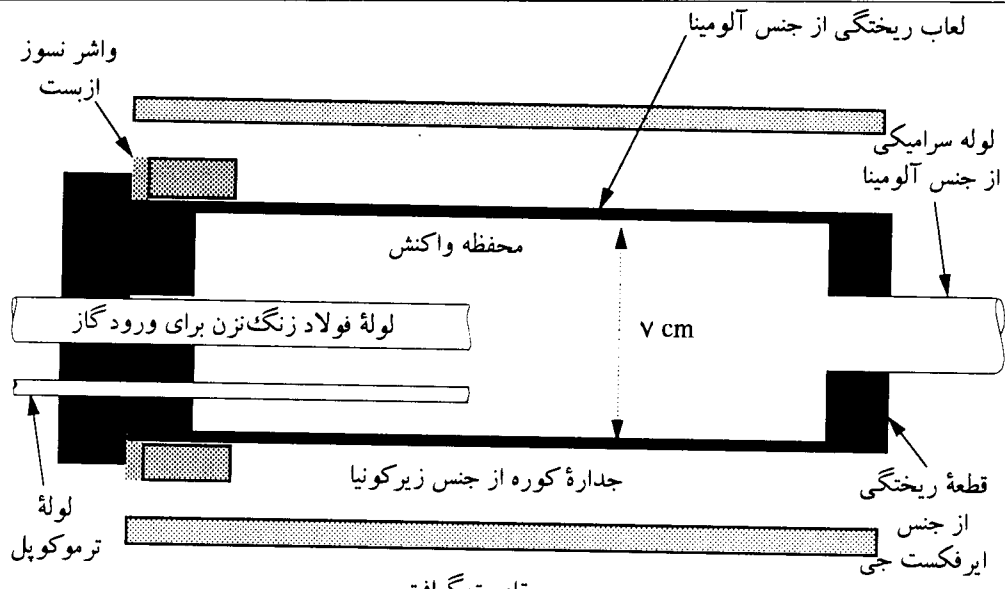
از آنجاکه براساس تحقیقات قبلی [۱]، نفوذ در حفره تخلخل ممکن است تاثیر تعیین کننده ای بر سرعت واکنش داشته باشد، لذا اثر میزان تخلخل، بر سرعت واکنش، در دمای 1123°K از طریق تجربی تعیین و با الگوهای گاز-جامد موجود [۳-۵] تطبیق داده شد. برای تعیین مکانیزم واکنش، تحت شرایطی که نفوذ خارجی بی‌تأثیر بود، نیز اثر اندازه دانه معین گردید و برای مشخص کردن مکانیزم، مورد استفاده قرار گرفت.

واکنش SO_2 با CaO ، از دیدگاه ترمودینامیکی، در فشار محیط و دمای بالاتر از 1123°K طبق معادله ۱ میسر است:



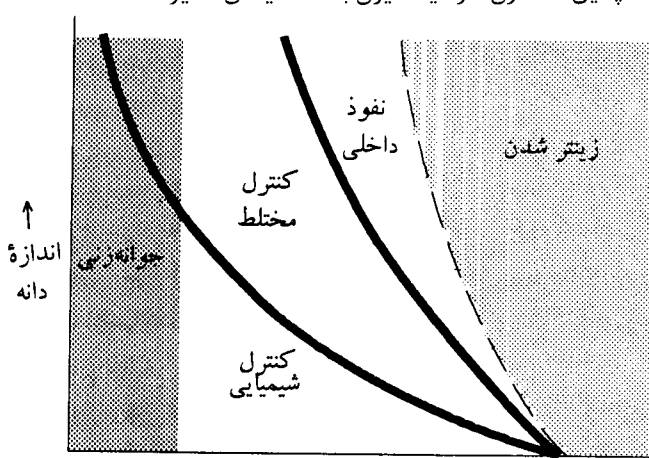
اما سرعت آن از لحاظ سینتیکی دچار محدودیت است؛ زیرا انرژی تحیریک پیشرفت واکنش، 212KJ/mol و مکانیزم آن، نفوذ در حفره تخلخل، در فاصله دماهای 200°C تا 400°C ، گزارش شده است [۱]. بدیهی است که این اطلاعات، کاملاً تابع شرایط و هندسه سیستم بوده و می‌توانند در شرایط کاری متفاوت، بکلی تغییر کنند. سرعت واکنش ۱ را می‌توان، در شرایط عام، تابع فرایندهای فیزیکی و شیمیایی درون و بیرون قطعه جامد دانست. برخی از این فرایندها عبارتند از: انتقال ماده در فاز گاز، نفوذ ماده در حفره، نفوذ جرم در جامد، هدایت حرارت در دانه، انتقال حرارت بیرون دانه و واکنشهای شیمیایی در فصل مشترک فازها.

تحقیقات انجام شده درباره اهمیت و تأثیر این مراحل، در گذشته، بسیار ناچیز و تقریباً قابل صرفنظر بوده است. بطوریکه برای افزایش بازدهی جذب SO_2 توسط CaO ، لازم است تحقیقات



شکل ۱: طرح راکتور آزمایش.

بمنظور بررسی مرز واکنش CaSO_4/CaO و نحوه توزیع عنصر گوگرد در این مرز از میکروسکوپ الکترونی (SEM) بهره‌گیری شد. نمونه‌های با قطر ۲ میلیمتر به صورت دانه‌ای، و نمونه‌های ریزتر و یا درشت‌تر (نظیر قرص) پس از مانت سرد بررسی شدند. لازم به ذکر است که نمونه‌های بفرم پودر یا قرص مانت شده بدون آب پولیش شدند. در سطح این نمونه‌ها، بعد از پولیش، پراکندگی ذرات محصول و ذرات واکنش کننده وجود داشت. لذا به منظور وضوح تصویر، نمونه‌ها پوشش طلا داده شده و با کمک میکروسکوپ الکترونی نحوه توزیع گوگرد جذب شده توسط CaO در داخل دانه‌های واکنش کرده مشخص شد. همچنین محصول سولفیداسیون با اشعه ایکس آنالیز شد.



شکل ۲: تاثیر دما و اندازه دانه بر مکانیزم واکنش بین جامد و گاز [۶].

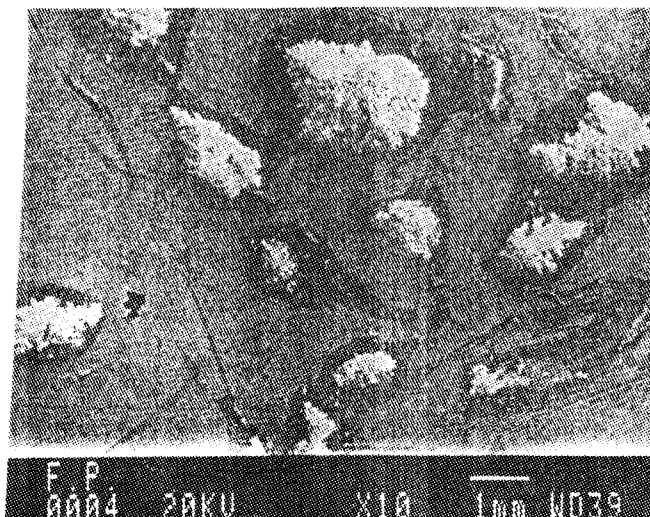
شرح آزمایشها

از روش وزن سنجی حرارتی ناپیوسته، برای بررسی سینتیک واکنش گاز-جامد در دمای بالا استفاده شد. بدین منظور تجهیزات لازم مطابق شکل (۱) طراحی و ساخته شد.

پودر آهک (اکسید کلسیم خالص) تقریباً تالبه قایق نسوز از جنس Al_2O_3 پر شد. آنگاه قایق در داخل راکتور شکل ۱ قرار داده شد. تعدادی از نمونه‌ها نیز بشکل قرص درآمده و توسط میله‌های نگهدارنده در داخل راکتور و در مسیر جریان گاز (بطور متناوب از دو طرف راکتور) قرار گرفتند.

پس از نصب نمونه‌ها، کوره تا دمای 850°C به آرامی حرارت داده شد. سپس جریان گاز SO_2 با دبی ورودی 3 cc/s برقرار شد. پس از انجام واکنش، جریان گاز قطع گردیده و نمونه‌ها از کوره خارج شدند. زمان آزمایش‌ها متفاوت و بین ۱ تا ۳۰ دقیقه متغیر بود. پس از سرد شدن، نمونه‌ها با ترازوی دقیق توزین شده و برای آنالیز میکروسکوپی در رزین‌های مخصوص مانت سرد جاسازی شدند. نمونه‌های مانت شده، سپس با صفحه مخصوص ساینده به نحوی که حتی امکان نصف دانه در داخل قالب مانت باقی بماند پولیش گردیدند. برای تعیین اثر درصد تخلخل بر میزان کسر تبدیل جامد CaO در واکنش با گاز SO_2 در دمای بالا، نمونه‌های قرصی شکل با قطر ۸ و ارتفاع ۴ میلیمتر و با درصدهای تخلخل 0.6% , 4.6% و 46% تهیه و مورد آزمایش قرار گرفتند.

سولفیداسیون در داخل دانه را می‌توان بصورت کمی و کیفی از طریق آنالیز با میکروسکوپ الکترونی (SEM) نیز تعیین نمود.



شکل ۳: تعدادی از دانه های CaO که با گاز SO_2 در دمای 85°C و دبی گاز 300 s^{-1} واکنش کردند همراه با هاله CaSO_4 در اطراف آنها.

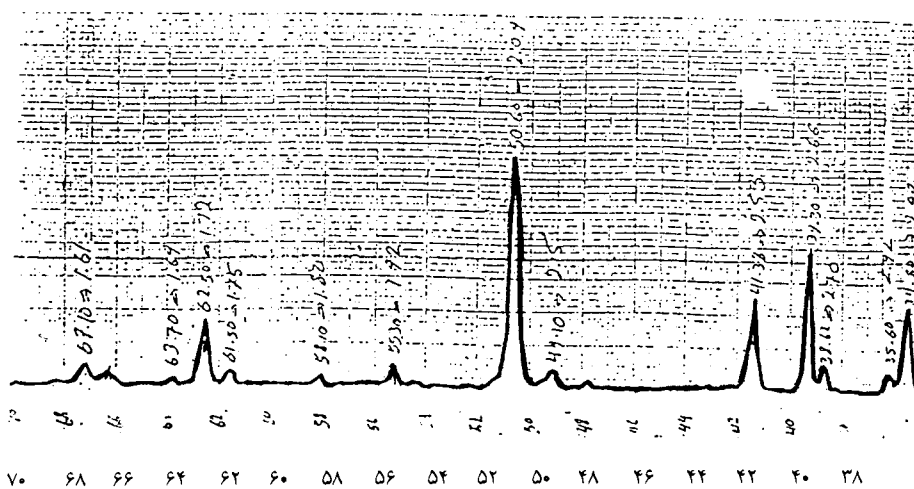
از آنجاکه حجم مولار محصول واکنش بر محاسبات الگو تاثیر می‌گذارد [۳]، لذا بررسیهای دقیقی با استفاده از طیف تفرق اشعه ایکس، درباره جنس محصول واکنش انجام گرفت. یکی از این طیفها در شکل (۴) نشان داده شده است. بررسی این طیف به کمک مراجع موجود [۶, ۷] نشان داد که محصول واکنش Anhydrous III را قبلاً گزارش II است. در حالیکه دیگر محققین [۸] را قبلاً گزارش

تاثیر دو عامل دما و اندازه دانه بر مکانیزم کنترل کننده تحول در شکل (۲) نشان داده شده است. در مورد قطعات کوچک بدليل سهولت انتقال گاز به محل واکنش، نوع مکانیزم شیمیابی است. اما در دماهای بالا بعلت سریع بودن واکنش، سرعت تحول از طریق مکانیزم نفوذ تعیین می‌شود. بدین ترتیب مشخص می‌شود که برای ابعاد و دماهای متوسط، مکانیزم کنترل بایستی از نوع مختلط باشد.

در بسیاری از واکنشهای بین جامد و گاز، جوانه زنی فاز دوم نیز می‌تواند اتفاق بیافتد. بخصوص در دماهای پایین این فرآیند می‌تواند کند بوده و بر سرعت کلی تحول تاثیر گذارد. در دماهای بالا، در عوض ممکن است پدیده زینتر شدن اتفاق بیافتد. این پدیده معمولاً باعث کندشدن سرعت تحول در جامدات متخلخل می‌گردد. گرچه فرآیند زینتر شدن حتی در دماهای بسیار پائین تر از نقطه ذوب نیز می‌تواند در جامدات متخلخل اتفاق بیافتد، لکن با توجه به محدودیت اطلاعات موجود، در غالب موارد از اثرات آن صرفنظر می‌شود.

نتایج

در شکل (۳)، تعدادی از دانه های واکنش کرده را در حالیکه توسط هالهای از سولفات کلسیوم (که با آنالیز XRD مشخص گردید) احاطه شده‌اند، می‌توان دید. میزان پیشروی واکنش بسته مرکز دانه و نیز مرز مشترک واکنش کننده (CaO) با محصول واکنش (CaSO_4) مشخص شده است. میزان پیشروی واکنش



شکل ۴: طیف اشعه ایکس محصول واکنش CaO با SO_2 .

شکل (۶) مشخص می شود، با افزایش اندازه دانه، سرعت تبدیل جامد واکنش کننده کوچک می شود. این موضوع نشاندهنده تاثیر نفوذ داخلی بر سرعت تحول است. شکل (۷) تاثیر درصد تخلخل بر سرعت واکنش را بیان می دارد. این تاثیر موید اهمیت فرایند انتقال در حفره های تخلخل و ضرورت در نظر گرفتن نفوذ در حفره می باشد.

تطبیق نتایج تجربی با الگو

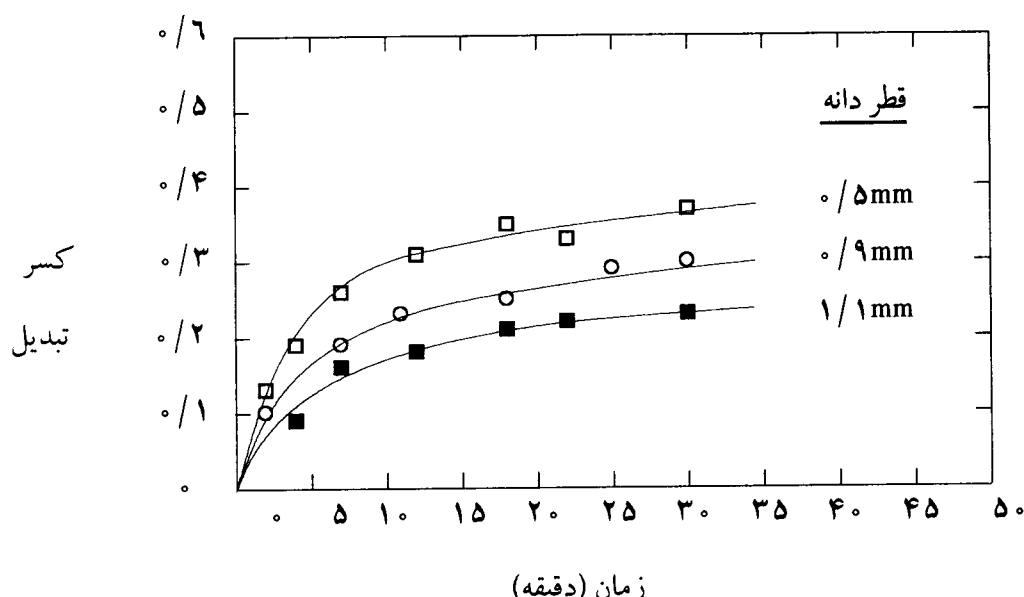
واکنش SO_2 با CaO از نوع غیرهمگن بوده و منجر به تشکیل ماده جامد CaSO_4 می شود. به منظور بررسی عامل کنترل کننده یا مجموعه ای از عوامل کنترل کننده از الگوهای مختلف ارائه شده در مقالات پیشین [۴] استفاده شد. بهترین تطبیق مربوط به الگوی جبهه گستردۀ در مدل دانه ای بود که توسط رابطه ۲ تعریف شد:

$$\epsilon = 1 - (1-X)^{1/2} + (\Phi_g^2 + \Phi_p^2) [X + (1-X)\ln(1-x)] \quad (2)$$

در رابطه ۲، ϵ نسبت زمان واکنش (t) به زمان تبدیل کامل (τ)، X کسر واکنش و Φ_g^2 و Φ_p^2 کمیات مربوط به شرایط واکنش هستند:

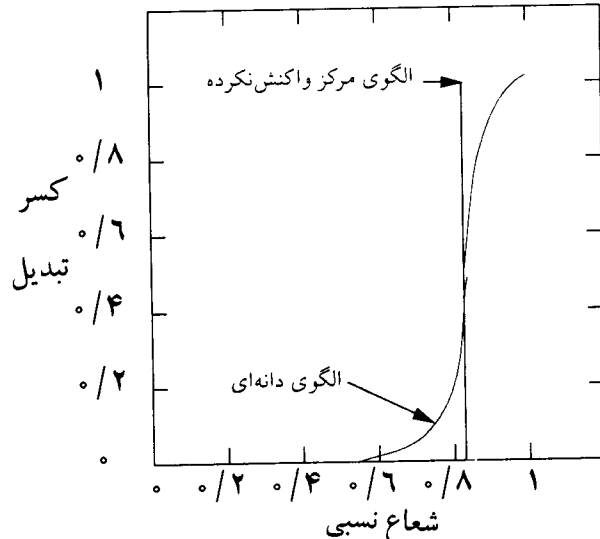
$$\Phi_g^2 = \frac{kV_g}{2D_g A_g} \quad (3)$$

$$\Phi_p^2 = \frac{(1-\epsilon)kF_p}{2D_p} \left(\frac{V_p}{A_p} \right)^2 \frac{F_g}{F_g V_g} \quad (4)$$



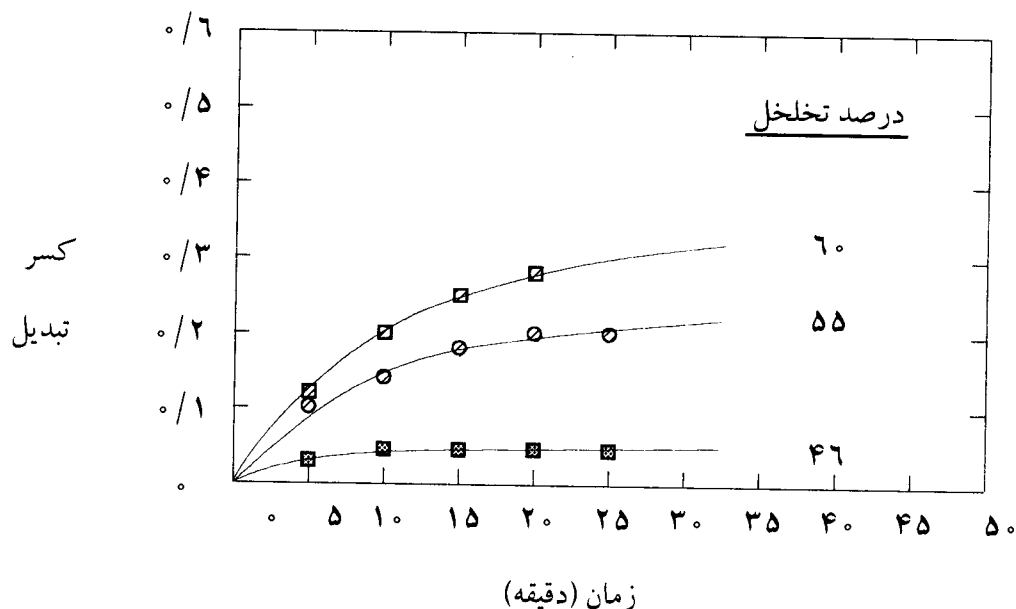
شکل ۶: تاثیر اندازه دانه های پودر بر میزان پیشرفت واکنش CaO با گاز SO_2 در دمای 85°C و دبی $1/25\text{cc/s}$.

نموده اند [۸]. در هر حال، نتیجه بدست آمده با گستره پایدار Anhydrous II $(1180^\circ\text{C} \text{ تا } 200^\circ\text{C})$ تطبیق بیشتری دارد.

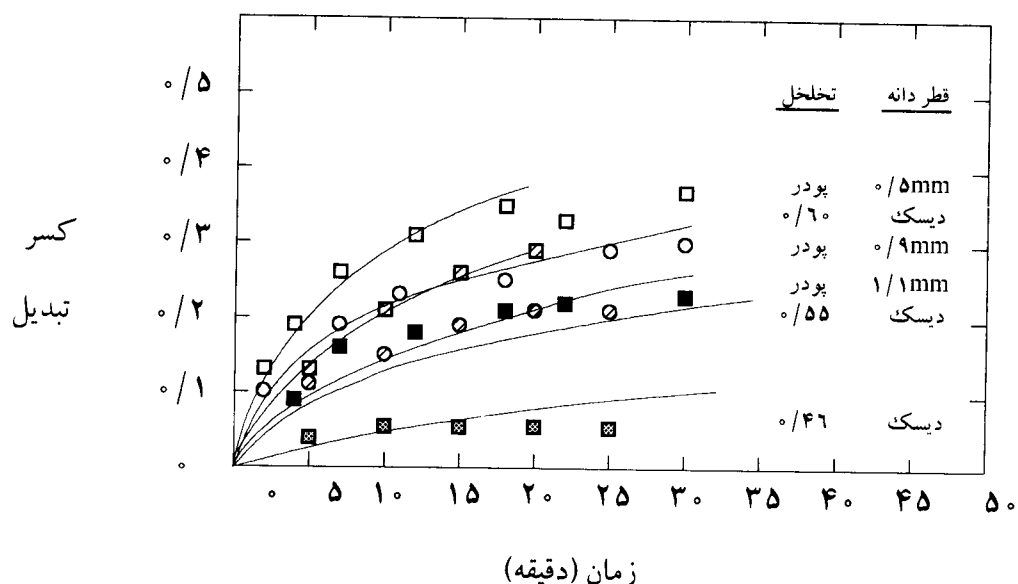


شکل ۵: نمایش تصویری شکل جبهه واکنش برای مدل دانه ای و مدل مرکز واکنش نکرده.

نوسانات گوگرد در لبه ها و اطراف ذرات، نشاندهنده بیشترین مقدار سولفیداسیون در این مناطق و وجود سطح مشترک بین محصول و ذره واکنش نکرده است. در شکل (۵) تاثیر مکانیزم بر شکل جبهه واکنش بطور تصویری نمایش داده شده است. مقایسه اطلاعات حاصل از بررسیهای متالوگرافی و تجزیه شیمیایی با هندسه شکل، نشانگر غلبه الگوی هسته کاهنده در مدل دانه ای نسبت به الگوی تبدیل پیش رو نده است [۹]. همانگونه که از نمودار



شکل ۷: تاثیر میزان تخلخل در پیشرفت واکنش جامد CaO با گاز SO_2 در دمای 85°C و دبی $1/25\text{cc/s}$. نمونه ها به شکل دیسک با قطر 8mm و ارتفاع 4mm ساخته شدند.



شکل ۸: مقایسه نتایج آزمایشی (نقاط) با محاسبات الگو (خطوط).

واکنشهای غیرهمگن طراحی و ساخته شد [۱۱]، مورد ارزیابی قرار گرفت و در نتیجه بهترین تطابق برای کنترل مختلط نوع نفوذ در حفره / نفوذ داخلی / واکنش شیمیایی بویژه برای مقادیر کوچک X بدست آمد. در نمودارهای شکل (۸)، مقادیر X و t بدست آمده از طریق آزمایشها اثر اندازه دانه و اثر درصد تخلخل با مقادیر نظری مقایسه شده اند.

ثابت سرعت، V_g حجم دانه، D_g ضریب نفوذ در دانه، A_g مساحت دانه، ϵ کسر تخلخل، F_p فاکتور شکل هندسی قطعه، D_p ضریب نفوذ در حفره، V_p حجم قطعه، A_p مساحت سطح قطعه و F_g فاکتور هندسی مربوط به شکل دانه است. داده های آزمایشگاهی پیرامون اثر اندازه دانه و درصد تخلخل بر کسر تبدیل (X) با نرم افزاری که مشابه نرم افزار CRS [۱۰] برای

مراجع

- 1 - Johnson, K. D. and Qstergaard, K. (1991). "High temp. reaction between SO₂ and limestone - II, An improved method for variation in studies of gas - solid reactions involving gas." *Chemical Engineering Science*, Vol. 46, No. 3, 839-845.
- 2 - Johnson, K. D., Hansen, P. F. B. and Qstergaard, K. (1991). "High temperature reaction between sulphur dioxide and limestone - III, A grain - micro grain model and its verification." *Chemical Engineering Science*, Vol. 46, No. 3, 847-853.
- 3 - Szekely, J., Evans, J. W. and Shon, Y. (1976). *Gas - solid reaction*. Academic Press, New York.
- 4 - Mazet, N. and Spinner, B. (1992). "Modeling of gas - solid reactions, II. porous solids." *International Chemical Engineering*, Vol.32, No. 3, 395-408.
- 5 - Mazet, N. (1992). "Modeling of gas - solid reactions, I. Non-porous solids." *International Chemical Engineering*, Vol. 32, No. 2, 271-284.
- 6 - صدرنژاد، خ. "فرایندهای سینتیکی در مهندسی مواد و متالورژی". انتشارات امیرکبیر، ۱۳۷۲، ۲۹۰.
- 7 - Culty, B. D. (1956). *Elements of X-Ray diffraction*. Addison Wesley, M. A.
- 8 - *Inorganic powder diffraction file, set 1-22*. Published by joint committee on powder diffraction standards, Philadelphia, (1903-1960).
- 9 - Hartman, M. and Coupling, R. W. (1974). *Ind. Eng. Chem. Proce. Dev.*, 13, 248.
- 10 - صدرنژاد، خ. فرازپی، م. "الگوهای سینتیکی گاز - جامد". مجموعه مقالات پژوهشی ۱۳۷۳، ۱۷۲ - ۱۴۶. دانشگاه صنعتی شریف، ۱۳۷۳.
- 11 - Sadrnezhaad, K., Gharavi, A. and Morvarid, O. (1992). "Simulation of kinetics of chemical reactions." *Abstract Bulletin, Forth Biennial Conference and Workshop on Computer Software for Chemical and Extractive Metallurgy Calculations*, University of Missouri - Rolla, 24.
- 12 - صدرنژاد، خ. رضابی، م. و دمالی، م. "شبیه سازی سرعت در فرآیندهای کاربردی". مجموعه مقالات پژوهشی ۱۳۷۲، ۱۳۷۲ - ۱۰۶. دانشگاه صنعتی شریف، ۱۳۷۲.